УДК 536.2.023; 532.591

ПИКОСЕКУНДНАЯ ДИНАМИКА И МОРФОЛОГИЯ ТЫЛЬНОГО ОТКОЛА НАНОСЛОЯ В ПЛЕНКЕ ВАНАДИЯ ПРИ УДАРНО-ВОЛНОВОМ НАГРУЖЕНИИ СУБПИКОСЕКУНДНЫМИ ЛАЗЕРНЫМИ ИМПУЛЬСАМИ

© 2024 г. П. С. Комаров, С. А. Ромашевский, Е. В. Струлева*, С. И. Ашитков

ФГБУН Объединенный институт высоких температур РАН (ОИВТ РАН), Москва, Россия

*E-mail: struleva.evgenia@yandex.ru
Поступила в редакцию 07.06.2024 г.
После доработки 21.08.2024 г.
Принята к публикации 08.10.2024 г.

Методами высокоскоростной лазерной интерферометрии, сканирующей электронной и атомносиловой микроскопии исследована временная динамика и морфология откольного разрушения пленочного образца ванадия микронной толщины при ударно-волновом нагружении фемтосекундными лазерными импульсами в различных условиях фокусировки излучения. Показано, что вблизи порога разрушения при длительности генерируемого импульса сжатия 50 пс и скорости деформирования 1.4×10^9 с $^{-1}$ на тыльной поверхности формируется кратер глубиной 170-190 нм с наноразмерной шероховатостью. Результаты могут представлять интерес для изучения физики и моделирования процессов высокоскоростного разрушения металлов.

DOI: 10.31857/S0040364424050071

ВВЕДЕНИЕ

Исследование ударно-волновых явлений в конденсированных средах позволяет получить новые данные для уравнений состояния [1-3], сведения о полиморфных превращениях [4, 5], деформации и разрушении вещества [1, 6–15]. Важной задачей является прогнозирование поведения материалов в широком диапазоне длительности импульсных механических нагрузок. Известно, что сопротивление деформированию и разрушению металлов (динамическая прочность) увеличивается с ростом скорости деформирования. В последние годы применение лазеров фемтосекундной длительности для генерации ультракоротких ударных волн (УВ) пикосекундного диапазона позволило получить данные о поведении ряда материалов вблизи теоретического предела прочности при предельно высоких скоростях деформирования ($\sim 10^9 \,\mathrm{c}^{-1}$) [5, 10, 14-16].

С ростом скорости растяжения происходят изменения в механизме откольного разрушения. Вместо разрушения посредством роста отдельных катастрофических трещин в субмикросекундном диапазоне нагружения в пикосекунд-

ном диапазоне имеет место эволюция рассеянных разрушений, при которой активизируются все более мелкие и многочисленные центры разрушения. Релаксация возникающих при этом глубоко метастабильных состояний происходит путем зарождения и роста зародышевых пузырьков или пор, которые появляются благодаря тепловым флуктуациям плотности (гомогенное зарождение) или благодаря примесям и структурным неоднородностям в веществе [16]. Несмотря на вполне удовлетворительное общее понимание физики и механики высокоскоростного деформирования и разрушения, полного согласия моделирования этих явлений с имеющимися экспериментальными данными пока не достигнуто.

При отражении импульса сжатия от тыльной свободной поверхности образца при ударноволновом нагружении в результате интерференции падающей и отраженной волн внутри вещества формируются растягивающие напряжения, максимум которых находится на некотором расстоянии от тыльной поверхности [16]. При превышении величины растягивающих напряжений объемной прочности материала внутри него возникает откольное разрушение. Глубина, на

которой возникает разрушение $L_{\rm spall}$, и морфология откола зависят от параметров нагрузки и свойств материала.

Измерение величины растягивающего напряжения непосредственно перед откольным разрушением в ударно-волновых экспериментах осуществляется путем регистрации волновых профилей скорости свободной поверхности испытуемого образца $u_{\rm fc}(t)$ по величине декремента скорости $\Delta u_{\rm fc}$. Положение поверхности откола при этом оценивается по времени выхода откольного импульса. В большом числе случаев непосредственно исследовать морфологию разрушения после воздействия не представляется возможным из-за полного разрушения образца. В частности, это имеет место в лазерных экспериментах при предельно высоких скоростях деформирования, где в качестве экспериментальных образцов применяются тонкие металлические пленки микронной толщины на прозрачных (стеклянных) подложках [4]. Сфокусированный через стекло в пятно диаметром 50-100 мкм мощный фемтосекундный лазерный импульс (ФЛИ), нагревая слой металла толщиной порядка 100 нм, граничащий с подложкой, генерирует плоскую ультракороткую ударную волну длительностью десятки пикосекунд, которая вызывает откольное разрушение вблизи холодной тыльной поверхности пленочного образца на глубине 100-200 нм. При этом параметры волновых профилей скорости свободной поверхности при выходе УВ регистрируются методом высокоскоростной лазерной интерферометрии с пространственным и временным разрешением [17, 18]. Однако генерируемые в образце напряжения и нарушение адгезии с подложкой при плавлении части нагретого металлического слоя вблизи контакта металл—стекло приводят к последующему полному разрушению пленочного образца в области воздействия на более поздних (наносекундных) временах [19].

В настоящей работе приведены результаты исследований откольных явлений при одноосном сжатии в пленочном образце ванадия толщиной 1.3 мкм при различных условиях фокусировки лазерного излучения. При острой фокусировке фемтосекундного импульса в пятно диаметром 8.6 мкм по уровню е-1 вблизи порога разрушения впервые удалось исследовать остаточную морфологию откола на тыльной поверхности сохраненного пленочного образца ванадия методами сканирующей электронной (СЭМ) и атомно-силовой (АСМ) микроскопии. Измеренная методом АСМ глубина откольного кратера при этом хорошо согласуется с оценкой глубины откольного разрушения, полученной в результате анализа волновых профилей скорости, измеренных методом высокоскоростной интерферометрии в аналогичных условиях нагружения.

ЭКСПЕРИМЕНТ

Исследования проводились на пленочном образце ванадия толщиной 1320 ± 20 нм, нанесенного на тонкую подложку (покровное стекло толщиной 180 мкм) методом магнетронного напыления ванадия чистотой 99.8%. Перед напылением пленок установка откачивалась до 10^{-5} Торр. Образец представлял собой поликристаллическую пленку с характерными размерами зерен около 100 нм. Толщина пленки ванадия измерялась с помощью атомно-силового микроскопа.

Методом высокоскоростной спектральной интерферометрии в режиме непрерывной регистрации во временном интервале 0-200 пс были получены ланные о линамике лвижения тыльной поверхности образца вблизи порога откола при лазерном ударно-волновом нагружении. Источником ФЛИ являлась титан-сапфировая лазерная система Coherent с длиной волны $\lambda_1 = 800$ нм. Нагревающее лазерное излучение фокусировалось в пятно с гауссовым распределением радиусом $r_{0x}=25$ мкм по уровню ${\rm e}^{-1}$ и длительностью импульса ${\rm \tau}_1=700$ фс. Диагностическая часть представляла собой интерферометр Майкельсона с переносом изображения поверхности мишени на входную шель дифракционного спектрометра и последующей цифровой регистрацией сигнала в виде двумерных интерферограмм с помощью ПЗС-камеры. Лазерный нагрев мишени осуществлялся со стороны стеклянной подложки, диагностика ударно-волновых процессов проводилась на тыльной поверхности. Длительность одновременно регистрируемого временного интервала была ограничена длительностью чирпированного импульса, которая составляла 300 пс. Временное разрешение определялось шириной входной щели и дисперсией спектрометра и не превышало 1 пс для используемой решетки 600 штрих/мм.

При измерениях записывались три интерферограммы: начальная (невозмущенной поверхности до воздействия), временная (во время воздействия) и финальная (спустя несколько секунд после воздействия). Результатом обработки интерферограмм с помощью фурье-анализа были двумерные распределения изменения фазы отраженного сигнала $\Delta \phi(x,t)$, описывающие динамику пространственно-неоднородного движения тыльной свободной поверхности пленочного образца. Одна ось распределения соответствовала координате, вторая — времени. Применяемый алгоритм фурье-анализа двумерных интерферограмм [20] с процедурой нормиров-

ки на начальное распределение фазы обеспечивает погрешность измерения фазы диагностического импульса на уровне $\delta \varphi = 0.01$ рад, что соответствует погрешности определения величины смещения поверхности $\delta z \leq 1-2$ нм. Подробное описание экспериментальной схемы и методики обработки приведено в работах [17, 18, 20].

Также для изучения морфологии откольного разрушения ванадия была использована экспериментальная схема с острой фокусировкой нагревающего излучения [21]. В качестве основного элемента схемы использовался инвертированный оптический микроскоп Olympus IX-71. Источником ФЛИ являлся иттербиевый волоконный лазер ТЕТА (Авеста, Россия) со следующими параметрами импульсов: длительность $\tau_2 = 350$ фс, длина волны $\lambda_2 = 1028$ нм, энергия $\bar{E} = 100$ мкДж. Для плавной регулировки энергии лазерного импульса в схеме применялся поляризационный ослабитель, состоящий из фазовой пластины толщиной λ/2 и призмы Глана. Часть излучения отражалась от поверхности плоскопараллельной тонкой стеклянной пластины и попадала в узел контроля энергии, представляющего собой фотодиод, подключенный к цифровому осциллографу. Калибровка фотодиода осуществлялась с помощью измерителя мощности Ophir NOVA II.

Лазерное излучение вводилось в оптический тракт через порт микроскопа с помощью диэлектрического зеркала. Излучение лазерного пучка фокусировалось на поверхность образца через стеклянную подложку в пятно с гауссовым распределением с радиусом 4.3 мкм по уровню e^{-1} с помощью микрообъектива Olympus 20x с числовой апертурой NA = 0.5, через который также осуществлялась подсветка мишени лампой. Визуальный контроль за состоянием поверхности проводился с помощью ПЗС-камеры. Лазерное излучение падало по нормали к поверхности мишени. Мишень устанавливалась на трехкоординатном трансляторе с шагом перемещения 1.25 мкм по оси Z и 2.5 мкм по осям X. Y.

Исследования морфологии и рельефа тыльной поверхности экспериментального образца проводились с помощью сканирующего электронного (модель MIRA3, TESCAN) и атомносилового микроскопов (модель MultiMode V, Veeco).

РЕЗУЛЬТАТЫ И ИХ ОБСУЖДЕНИЕ

На рис. 1 приведено пространственновременное распределение изменения фазы зондирующего импульса, полученное после фурьевнализа интерферограмм, при плотности энергии нагревающего импульса в центре пятна $F_0 = 1.6 \, \mathrm{Дж/cm^2}$. Пунктирной линией на рис. 1

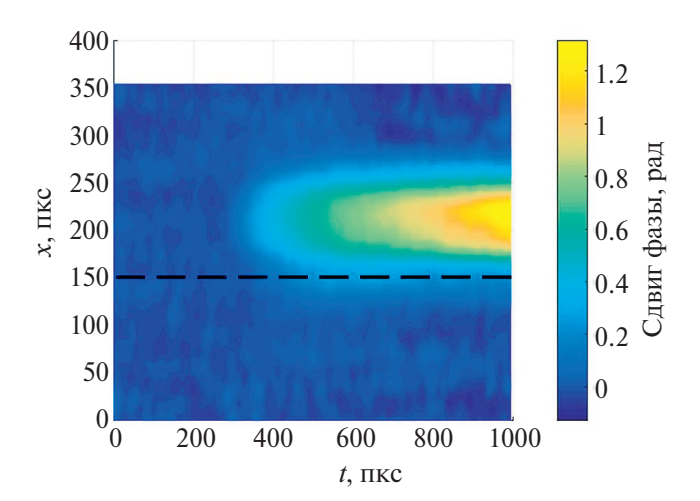


Рис. 1. Пространственно-временное распределение изменения фазы зондирующего импульса $\Delta \varphi(x, t)$ при выходе ударной волны на свободную тыльную поверхность образца; калибровочный коэффициент для оси времени -0.164 пс/пкс, для пространственной оси -0.3 мкм/пкс.

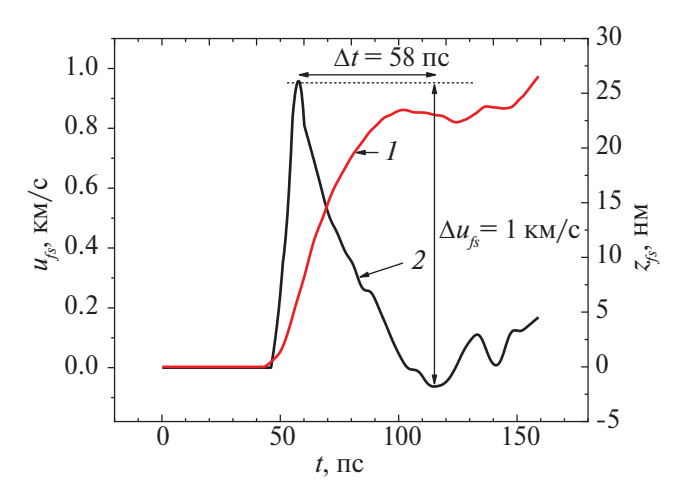
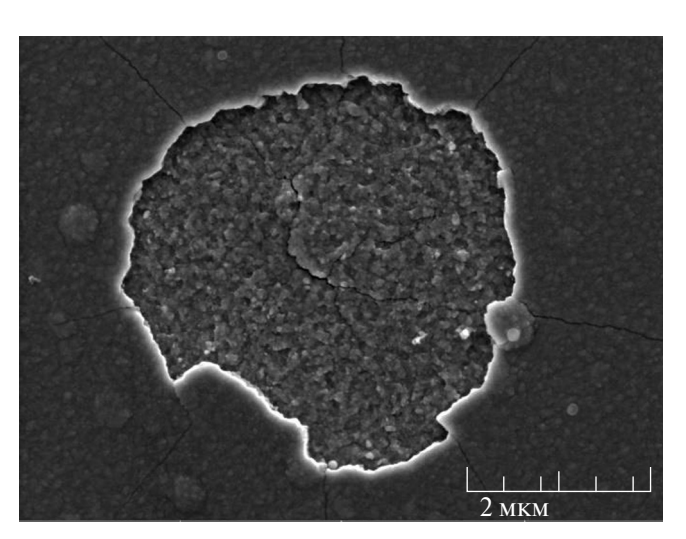


Рис. 2. Эволюция смещения (1) и скорости движения (2) свободной поверхности пленочного образца ванадия толщиной 1320 нм вблизи порога откола при плотности энергии нагревающего импульса $F = 0.72 \, \text{Дж/см}^2$.

показано выбранное сечение вблизи порога откола при $F = 0.72 \, \text{Дж/см}^2$.

На рис. 2 представлена эволюция скорости движения тыльной поверхности пленки ванадия $u_{fs}(t)$ вблизи порога откола при плотности энергии $F=0.72\,\mathrm{Дж/cm^2}$. Смещение поверхности $z_{fs}(t)$ связано с изменением фазы $\Delta\phi(t)$ соотношением $z_{fs}(t)=\Delta\phi(t)\lambda/4\pi$. Профиль скорости $u_{fs}(t)$ получен в результате дифференцирования экспериментальной зависимости смещения $z_{fs}(t)$. Нулевой момент времени на графике выбран произвольно.



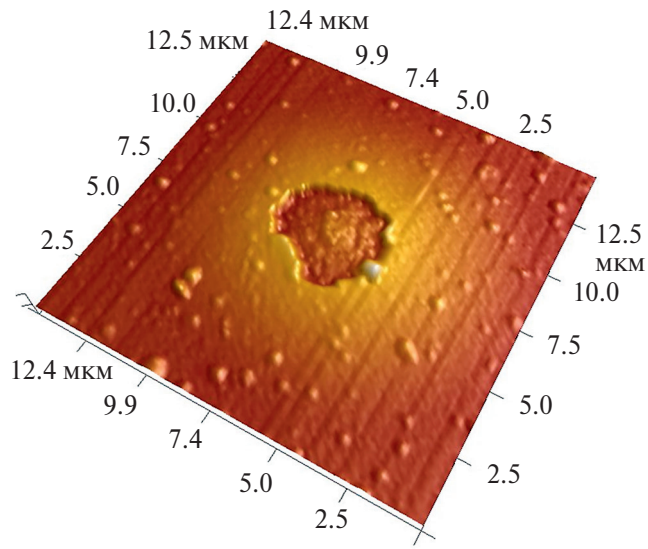


Рис. 3. Изображения тыльной поверхности пленочного образца ванадия толщиной 1320 нм, полученные с помощью СЭМ (а) и АСМ (б) после лазерного воздействия при плотности энергии нагревающего импульса $F_0 = 0.76 \, \text{Дж/см}^2$ в геометрии острой фокусировки.

Результаты измерений показали отсутствие расщепления ударной волны на упругую и пластическую при данной длине распространения и величине напряжения сжатия о. Оценка напряжения сжатия для параметров приведенного на рис. 2 эксперимента и данных измерений ударной адиабаты ванадия [10] дает значение $\sigma = \rho_0 U_S u_p \approx 20 \ \Gamma \Pi a \ (здесь \ \rho_0 = 6 \ r/cm^3 - начальная плотность [22], <math>U_S$ - скорость УВ, $u_p = u_{fs}/2$ - массовая скорость). Как видно, значение σ более чем в 2 раза меньше динамического предела упругости ванадия, измеренного в [10] при аналогичной длине распространения УВ. Поэтому в рассматриваемом случае ультракороткая волна сжатия в ванадии является упругой. Профиль скорости свободной поверхности $u_{f_{S}}(t)$ имеет характерную треугольную форму с длительностью по основанию примерно 50 пс. Время нарастания $u_{f}(t)$ составляет 12 пс. На графике наблюдается повторное увеличение скорости (откольный импульс) спустя 70 пс после момента выхода УВ на тыльную поверхность. При меньших значениях F откольный импульс не регистрировался.

Оценка непосредственно перед разрушением величины растягивающего напряжения в образце в ударно-волновых экспериментах осуществляется по декременту скорости Δu_{f_5} между ее максимальным и минимальным значениями (перед откольным импульсом) [16]. Для импульсов нагрузки треугольной формы с учетом возможных упругопластических эффектов при отколе используется формула в виде [23, 24]

$$\sigma_{\text{spall}} = \rho_0 c_l \Delta u_{fs} \frac{1}{1 + c_l / c_b}, \tag{1}$$

где $c_l = 6.07$ км/с, $c_b = 4.56$ км/с — продольная и объемная скорости звука в ванадии [10].

Под скоростью деформирования $\dot{\epsilon}$ в ударноволновых экспериментах понимается скорость расширения вещества в волне разряжения, она определяется соотношением [16]

$$\dot{\varepsilon} = \frac{\Delta u_{f\dot{s}}}{\Delta t} \frac{1}{2c_l},\tag{2}$$

где $\Delta t = t_{\max} - t_{\min}$ — разность между временами достижения минимального и максимального значений скорости.

Из рис. 2 следует, что для $F=0.72~\rm Дж/cм^2$ при $\Delta u_{fs}=1~\rm км/c$ и интервала времени $\Delta t\approx 58~\rm nc,$ согласно (1) и (2), откольная прочность составляет $\sigma_{\rm spall}=15.6\pm2~\rm \Gamma\Pi a$ при скорости деформирования $\dot{\epsilon}\approx 1.4\times 10^9~\rm c^{-1}.$

Откольное разрушение, согласно формуле $L_{\rm spall} \approx c_l \Delta t/2$ [25], происходит на глубине $L_{\rm spall} \approx 180$ нм от тыльной поверхности образца.

В геометрии острой фокусировки нагревающего излучения на тыльной стороне пленки был получен откольный кратер. На рис. 3 представлены СЭМ- и АСМ-изображения свободной поверхности пленочного образца ванадия вблизи порога разрушения после воздействия ФЛИ с плотностью энергии в центре пятна $F_0 = 0.76 \, \text{Дж/см}^2$. На рис. 4 показан профиль сечения кратера, полученного с помощью АСМ (рис. 3б), построенного по центру области взаимодействия.

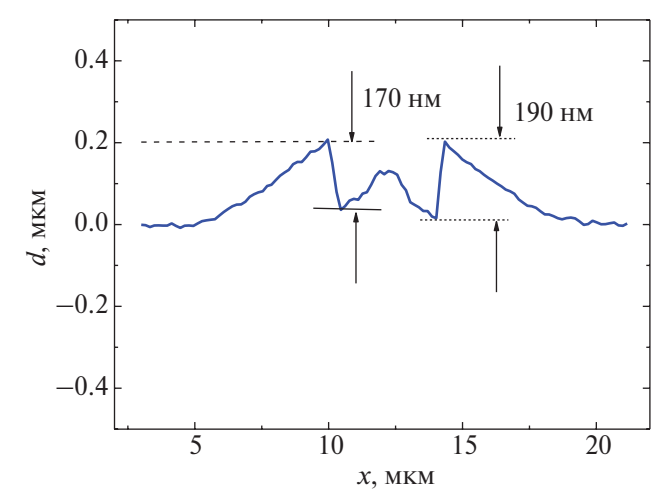


Рис. 4. Профиль кратера на тыльной поверхности образца ванадия в эксперименте с острой фокусировкой лазерного импульса при $F_0 = 0.76 \, \mathrm{Дж/cm^2}$.

Из рис. 3 и 4 следует, что диаметр откольного разрушения составляет примерно 3 мкм при глубине около 170—190 нм. На поверхности вне кратера наблюдаются отдельные дефекты размером до 500 нм, обусловленные особенностями процесса напыления. Также вероятно, что наряду с дефектами на поверхности после воздействия могли осаждаться продукты откольного разрушения. Однако вопрос исследования продуктов разрушения выходит за рамки настоящей работы и детально не изучен.

Поверхность образца в области воздействия вспученная. Высота выпуклости достигает 200 нм, а ее диаметр, равный примерно 15 мкм, коррелирует с размером фокального пятна. На поверхности видны радиальные трещины. Очевидно, что, наряду с тыльным наноотколом под действием УВ, также имела место деформация образца, по-видимому, являющаяся следствием отслоения пленки от подложки в области возлействия.

С учетом наличия выпуклой деформации поверхности образца можно считать, что поверхность откольного разрушения близка к плоской. Выраженная зернистая структура дна кратера с размером зерна порядка 50–100 нм (рис. 3а) свидетельствует о том, что откол нанослоя в пленке ванадия происходил в твердом состоянии. По данным ACM-измерений, шероховатость (rms) исходной тыльной поверхности образца равнялась 4 нм, в то время как шероховатость (rms) поверхности внутри кратера составляла 12 нм, т.е. механизм откола являлся диффузным с одновременной активизацией многочисленных очагов разрушения, приводящих к образованию кратера с наноразмерной шероховатостью его поверхности.

Важно отметить, что глубина откольного кратера по данным АСМ-измерений хорошо коррелирует с результатом оценки глубины откольного разрушения по данным измерений волнового профиля скорости свободной поверхности.

ЗАКЛЮЧЕНИЕ

В настоящей работе проведено исследование временной динамики и морфологии откола нанослоя на тыльной стороне пленочного образца ванадия толщиной 1320 нм в пикосекундном диапазоне ударно-волнового нагружения. Нагружение осуществлялось лазерными импульсами ближнего инфракрасного диапазона фемтосекундной длительности при нагреве образца через стеклянную подложку при различной фокусировке излучения. При острой фокусировке лазерного излучения в пятно радиусом 4.3 мкм вблизи порога разрушения впервые удалось исследовать морфологию сохранившегося на пленочном образце ванадия наноразмерного откольного кратера. Измеренные методом АСМ глубина кратера и шероховатость его дна составили 170-190 нм и 12 нм соответственно. Выраженная зернистая структура дна кратера по данным СЭМ-исследований свидетельствует о твердотельном характере откольного разрушения.

Интерферометрическим методом непрерывной регистрации с пикосекундным разрешением были исследованы параметры применяемых ультракоротких импульсов упругого сжатия вблизи порога разрушения. По данным измерений волновых профилей скорости свободной поверхности, нагружение осуществлялось импульсами треугольной формы с длительностью порядка 50 пс. Измеренный порог разрушения составил 16 ГПа при скорости деформирования $1.4 \times 10^9 \,\mathrm{c}^{-1}$. Оцененная по времени выхода откольного импульса глубина возникновения разрушения составила 180 нм, что совпадает с данными АСМ-измерений глубины кратера. Отсюда следует, что оценка глубины возникновения откольного разрушения в микронных металлических пленках может быть проведена с помощью соотношений, полученных для макроскопических образцов.

Результаты настоящей работы могут представлять интерес для изучения воздействия сверхкоротких лазерных импульсов на пленочные материалы, а также для развития методов молекулярно-динамического моделирования высокоскоростного разрушения металлов.

Данная работа выполнена при финансовой поддержке Министерства науки и высшего образования РФ (соглашение с ФГБУН ОИВТ РАН № 075-00270-24-00).

Исследование проводилось на оборудовании ЦКП «Лазерный фемтосекундный комплекс» ОИВТ РАН.

СПИСОК ЛИТЕРАТУРЫ

- 1. Семенов А.Ю., Абросимов С.А., Стучебрюхов И.А., Хищенко К.В. Изучение динамики волновых процессов сжатия и расширения в палладии при пикосекундном лазерном воздействии // ТВТ. 2023. Т. 61. № 4. С. 542.
- Хищенко К.В. Уравнение состояния алюминия при высоких давлениях // ТВТ. 2023. Т. 61. № 3. С. 477.
- 3. *Хищенко К.В.* Уравнение состояния циркония при высоких давлениях // ТВТ. 2023. Т. 61. № 5. С. 783.
- 4. *Crowhurst J.C., Reed B.W., Armstrong M.R. et al.* The Phase Transition in Iron at Strain Rates up to ~10⁹ s⁻¹// J. Appl. Phys. 2014. V. 115. № 11. P. 113506.
- 5. Мурзов С.А., Ашитков С.И., Струлева Е.В., Комаров П.С., Хохлов В.А., Жаховский В.В., Иногамов Н.А. Упругопластические и полиморфные превращения в пленках железа при нагрузке ультракороткими лазерными ударными волнами // ЖЭТФ. 2022. Т. 161. № 3. С. 315.
- 6. Whitley V.H., McGrane S.D., Eakins D.E. et al. The Elastic-plastic Response of Aluminum Films to Ultrafast Laser-Generated Shocks // Appl. Phys. 2011. V. 109. № 1. P. 013505.
- 7. Crowhurst J.C., Armstrong M.R., Knight K.B. et al. Invariance of the Dissipative Action at Ultrahigh Strain Rates above the Strong Shock Threshold // Phys. Rev. Lett. 2011. V. 107. P. 144302.
- 8. Demaske B.J., Zhakhovsky V.V., Inogamov N.A., Oleynik I.I. Ultrashort Shock Waves in Nickel Induced by Femtosecond Laser Pulses // Phys. Rev. B. 2013. V. 87. № 5. P. 054109.
- 9. Абросимов С.А., Бажулин А.П., Воронов В.В., Гераськин А.А., Красюк И.К., Пашинин П.П., Семенов А.Ю., Стучебрюхов И.А., Хищенко К.В., Фортов В.Е. Особенности поведения вещества в области отрицательных давлений, создаваемых действием лазерного импульса пикосекундной длительности // Квантовая электроника. 2013. Т. 43. № 3. С. 246.
- 10. Ашитков С.И., Комаров П.С., Струлева Е.В., Агранат М.Б., Каннель Г.И. Механические и оптические свойства ванадия под действием ударных нагрузок пикосекундного диапазона // Письма в ЖЭТФ. 2015. Т. 101. № 4. С. 294.
- 11. Беликов Р.С., Красюк И.К., Ринеккер Т., Семенов А.Ю., Розмей О.Н., Стучебрюхов И.А., Томут М., Хищенко К.В., Шенляйн А. Отрицательные давления и откол в мишенях из графита при нано- и пикосекундном лазерном воздействии // Квантовая электроника. 2015. Т. 45. № 5. С. 421.
- 12. Канель Г.И., Гаркушин Г.В., Савиных А.С., Разоренов С.В., Атрошенко С.А. Высокоскоростная де-

- формация и разрушение стали 15Х2НМФА под действием ударной нагрузки при нормальной и повышенной температурах // ЖТФ. 2020. Т. 90. \mathbb{N}_2 3. С. 441.
- 13. *Канель Г.И., Гаркушин Г.В., Савиных А.С., Разоренов С.В., Атрошенко С.А.* Исследование скоростных зависимостей напряжения пластического течения и разрушения стали 09Г2СА-А при нормальной и повышенной температурах // ЖТФ. 2021. Т. 91. № 11. С. 1698.
- 14. Струлева Е.В., Комаров П.С., Евлашин С.А., Ашитков С.И. Поведение магниевого сплава при высокоскоростной деформации под действием ударно-волновой нагрузки // ТВТ. 2022. Т. 60. № 5. С. 793.
- 15. *Ашитков С.И.*, *Струлева Е.В.*, *Комаров П.С.*, *Евлашин С.А.* Ударное сжатие молибдена при воздействии ультракороткими лазерными импульсами // ТВТ. 2023. Т. 61. № 5. С. 790.
- 16. *Канель Г.И.*, *Фортов В.Е.*, *Разоренов С.В.* Ударные волны в физике конденсированного состояния // УФН. 2007. Т. 177. № 8. С. 809.
- 17. Струлева Е.В., Комаров П.С., Ашитков С.И. Интерферометрическая диагностика нанодеформаций поверхности мишени в пикосекундном диапазоне при импульсном лазерном воздействии // Вестник ОИВТ. 2018. Т. 1. № 1. С. 130.
- 18. Ashitkov S.I., Komarov P.S., Romashevskiy S.A., Struleva E.V., Evlashin S.A. Destruction of a Magnesium Alloy Film in the Condensed State by an Ultrashort Laser-Driven Shock Wave // Phys. Fluids. 2023. V. 35. P. 107107.
- 19. *Domke M., Rapp S., Schmidt M., Huber H.P.* Ultra-Fast Movies of Thin-Film Laser Ablation // Appl. Phys. A. 2012. V. 109. № 2. P. 409.
- 20. *Temnov V.V.*, *Sokolovski-Tinten K.*, *Zhou P.*, *von der Linde D.* Ultrafast Imaging Interferometry at Femtosecond Laser-Excited Surfaces // J. Opt. Soc. Am. B. 2006. V. 23. № 9. P. 1954.
- 21. Romashevskiy S.A., Ashitkov S.I., Ovchinnikov A.V., Kondratenko P.S., Agranat M.B. Formation of Periodic Mesoscale Structures Arranged in a Circular Symmetry at the Silicon Surface Exposed to Radiation of a Single Femtosecond Laser Pulse // Appl. Surf. Sci. 2016. V. 374. P. 12.
- 22. Физические величины. Спр. / Под ред. Григорьева И.С., Мейлихова Е.З. М.: Энергоатомиздат, 1991.
- 23. *Kanel G.I.* Spall Fracture: Methodological Aspects, Mechanisms, and Governing Factors // Int. J. Fract. 2010. V. 163. P. 173.
- 24. *Степанов Г.В.* Откольное разрушение металлов плоскими упругопластическими волнами нагруз-ки // Проблемы прочности. 1976. № 8. С. 66.
- 25. *Канель Г.И.* Искажение волновых профилей при отколе в упругопластическом теле // ПМТФ. 2001. Т. 42. № 2. С. 194.